© VitisDb 2010-2016 - ISSN 2282-006x

Nocera

Ansaldi G., Barbagallo M. G., Brancadoro L., De Lorenzis G., Di Lorenzo R., Falco V., Fici G., Gagliano F., Marino G., Monteleone G., Pisciotta A., Scienza A., 2015. Nocera. in: Italian Vitis Datababase, www.vitisdb.it. ISSN 2282-006X

release 15/11/2018, **ultimo aggiorn.** 15/11/2018 **url** http://vitisdb.it/accessions/show/16451

Informazioni gestite da

Regione Siciliana **-** Assessorato delle Risorse Agricole e Alimentari - Dip. Interventi Infrastrutturali per l'Agricoltura - Centro per l'Innovazione della Filiera Vitivinicola UOS Marsala
Dipartimento di Scienze Agrarie ed Ambientali - Università degli Studi di Milano
Dipartimento di Scienze Agrarie e Forestali - Università degli Studi di Palermo

Ringraziamenti

Regione Sicilia, Ager Foundation

Informazioni generali

nome Nocera
codice ITA430-1/5
nazione di selezione Italia
regione di selezione Sicilia
provincia di selezione Messina
località di selezione non disponibile
istituzione custode Regione Siciliana **-** Assessorato delle Risorse Agricole e Alimentari - Dip. Interventi Infrastrutturali per l'Agricoltura - Centro per l'Innovazione della Filiera Vitivinicola UOS Marsala
collezione Biesina-Marsala

Varietà & clone

tipo di origine spontanea
genere Vitis
specie Vitis vinifera
sub specie sativa
varietà Nocera
codice della varietà IVD-var_378
clone non disponibile
trueness to type accertato con microsatelliti

Trueness to type

True-name

confermato	**si**

bibliografia correlata (1)

autori	anno	titolo	rivista	citazione
Ansaldi G., Cartabellotta D., Falco V., Gagliano F., Scienza A.	2014	Identità e ricchezza del Vigneto Sicilia		REGIONE SICILIANA Assessorato Regionale dell'Agricoltura, dello Sviluppo Rurale e della Pesca Mediterranea

Trueness to type accertato con rilievi morfologici (ampelografici)

accertamento con rilievi morfologici (ampelografici)	**"no"**

Trueness to type accertato con microsatelliti

accertamento con microsatelliti	**accertato**

bibliografia correlata (1)

autori	anno	titolo	rivista	citazione
De Lorenzis G., Las Casas G., Brancadoro L., Scienza A.	2014	Genotyping of Sicilian grapevine germplasm resources (V. vinifera L.) and their relationships with Sangiovese	Scientia Horticulturae	169: 189–198

loci confrontati	n.d.
loci identici	n.d.
discrepanze	n.d.

© VitisDb 2010-2016 - ISSN 2282-006x

Profilo microsatellite standardizzato

loci:	loci predefiniti (9)																	
locus SSR:	VVS2		VVMD5		VVMD7		VVMD27		VrZAG62		VrZAG79		VVMD25		VVMD28		VVMD32	
allele:	A1	A2	A1	A2	A1	A2	A1	A2	A1	A2	A1	A2	A1	A2	A1	A2	A1	A2
dimensione:	133	133	245	245	239	239	185	193	188	194	249	249	242	242	247	261	253	257

Immagini



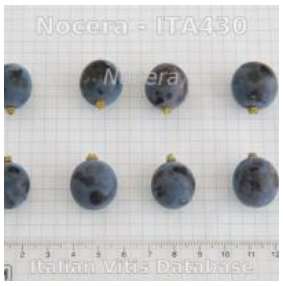
germoglio



foglia



grappolo



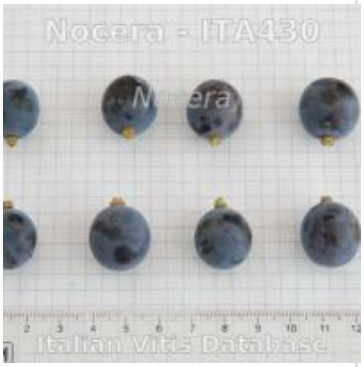
acino



vinacciolo

Ampelografia

OIV	descrizione	valore		immagini
001	Giovane germoglio: apertura dell’apice	5	completamente aperto	
003	Giovane germoglio: intensità della pigmentazione antocianica dei peli striscianti dell’apice	1	nulla o molto bassa	
004	Giovane germoglio: densità dei peli striscianti dell’apice	5 / 7	media / elevata	
006	Germoglio: portamento (prima della legatura)	1	eretto	
007	Germoglio: colore del lato dorsale degli internodi	2	verde e rosso	
008	Germoglio: colore del lato ventrale degli internodi	1	verde	
016	Germoglio: numero di viticci consecutivi	1	2 o meno	
051	Foglia giovane: colore della pagina superiore del lembo (4 a foglia)	1 / 2 (⊘ 3)	verde / giallo	
053	Foglia giovane: densità peli striscianti tra le nervature principali della pagina inferiore (4a foglia)	5	media	
065	Foglia adulta: dimensione del lembo	5 / 7	medio / grande	
067	Foglia adulta: forma del lembo	4 (⊘ 2)	orbicolare	
068	Foglia adulta: numero dei lobi	1 / 2	uno (foglia intera) / tre	
070	Foglia adulta: distribuzione pigmentazione antocianica nervature principali pagina superiore	1	assente	
072	Foglia adulta: depressioni del lembo	5	medie	
074	Foglia adulta: profilo del lembo in sezione trasversale	5	contorto	
075	Foglia adulta: bollosità della pagina superiore del lembo	3	bassa	
076	Foglia adulta: forma dei denti	2 / 3	entrambi i lati rettilinei / entrambi i lati convessi	
079	Foglia adulta: grado di apertura / sovrapposizione dei bordi del seno peziolare	3 (⊘ 1)	aperto	
080	Foglia adulta: forma della base del seno peziolare	1	a U	

081-1	Foglia adulta: denti del seno peziolare	1	assenti	
081-2	Foglia adulta: base del seno peziolare delimitata dalla nervatura	1	non delimitata	
083-1	Foglia adulta: forma della base dei seni laterali superiori	1	a U	
083-2	Foglia adulta: denti nei seni laterali superori	1	assenti	
084	Foglia adulta: densità dei peli striscianti tra le nervature principali sulla pagina inferiore del lembo	5	media	
086	Foglia adulta: densità dei peli striscianti sulle nervature principali della pagina inferiore del lembo	1	nulla o molto bassa	
087	Foglia adulta: densità dei peli eretti sulle nervature principali della pagina inferiore del lembo	1	nulla o molto bassa	
093	Foglia adulta: lunghezza del picciolo in rapporto alla lunghezza della nervatura mediana	3 / 1	leggermente più corto / più corto	
094	Foglia adulta: profondità dei seni laterali superiori	1	assente o molto poco profondo	
151	Fiore: organi sessuali	3	stami completamente sviluppati e gineceo completamente sviluppato	
202	Grappolo: lunghezza (escluso il peduncolo)	5 / 7	medio / lungo	
204	Grappolo: compattezza	3 / 5	spargolo / medio	
208	Grappolo: forma	2	conico	
209	Grappolo: numero di ali del grappolo principale	2	1 - 2 ali	
220	Acino: lunghezza	5	medio	
221	Acino: larghezza	7	largo	
223	Acino: forma	3	ellissoidale largo	
225	Acino: colore della buccia	6	blu nero	
236	Acino: particolarità dell'aroma	1	nessuna	
241	Acino: sviluppo dei vinaccioli	3	completo	

Ampelometria

OIV

OIV	PDF	descrizione	valore	
601	PDF	Foglia adulta: lunghezza della nervatura N1	(⌀ 113.21)	
602	PDF	Foglia adulta: lunghezza della nervatura N2	(⌀ 101.89)	
603	PDF	Foglia adulta: lunghezza della nervatura N3	(⌀ 75.51)	
604	PDF	Foglia adulta: lunghezza della nervatura N4	(⌀ 48.60)	
605	PDF	Foglia adulta: distanza dal seno peziolare al seno laterale superiore	(⌀ 81.07)	
606	PDF	Foglia adulta: distanza dal seno peziolare al seno laterale inferiore	(⌀ 64.88)	
607	PDF	Foglia adulta: angolo tra N1 e N2 misurato alla prima biforcazione	(⌀ 61.21)	
608	PDF	Foglia adulta: angolo tra N2 e N3 misurato alla prima biforcazione	(⌀ 48.98)	
609	PDF	Foglia adulta: angolo tra N3 e N4 misurato alla prima biforcazione	(⌀ 54.32)	
611	PDF	Foglia adulta: lunghezza della nervatura N5	(⌀ 22.08)	
617	PDF	Foglia adulta: distanza tra l'estremitá di N2 e l'estremitá della prima nervatura secondaria di N2	(⌀ 50.57)	
618	PDF	Foglia adulta: apertura/sovrapposizione del seno peziolare	(⌀ -14.48)	

Superampelo

distanze		
descrittore	valore	deviazione standard
Distanza dal seno peziolare al seno inferiore sinistro	64.940	6.690
Distanza dal seno peziolare al seno inferiore destro	64.810	4.460
Distanza dal seno peziolare al seno superiore sinistro	80.690	6.680
Distanza dal seno peziolare al seno superiore destro	81.460	5.520
Nervatura N3', lunghezza dal seno peziolare alla nervatura N4'	11.890	1.360
Nervatura N3, lunghezza dal seno peziolare alla nervatura N4	11.820	1.610
Lunghezza della nervatura N5'	21.320	2.030
Lunghezza della nervatura N5	22.840	4.700
Lunghezza della nervatura N4'	49.930	5.120
Lunghezza della nervatura N4	47.270	4.860
Distanza tra punto peziolare ed estremità della nervatura N4'	58.620	5.630
Distanza tra punto peziolare ed estremità della nervatura N4	56.290	4.470
Lunghezza della foglia	166.470	13.100
Larghezza della foglia	154.110	12.600
Lunghezza della foglia compreso il picciolo	187.120	19.530
Lunghezza del picciolo	73.890	11.860
Lunghezza della nervatura N1	113.210	10.100
Distanza tra gli estremi delle nervature N2 e N2'	146.210	12.350
Distanza tra gli estremi delle nervature N3 e N3'	146.890	11.790
Distanza tra gli estremi delle nervature N4 e N4'	61.430	10.360
Larghezza del seno peziolare / Distanza tra i punti SP e SP'	-14.480	5.570
Lunghezza della nervatura N2	100.040	6.560
Lunghezza della nervatura N2'	103.730	9.620
Lunghezza della nervatura N3	74.310	5.020
Lunghezza della nervatura N3'	76.710	7.330
Distanza tra estremità di N2 e estremità della prima ramificazione laterale di N2	45.620	7.990
Distanza tra estremità di N2' e estremità della prima ramificazione laterale di N2'	55.520	7.210

angoli		
descrittore	valore	deviazione standard
Angolo tra N1 e N2 misurato alla prima biforcazione	58.720	4.340
Angolo tra N1 e N2' misurato alla prima biforcazione	63.690	2.700
Angolo tra N2 e N3 misurato alla prima biforcazione	47.980	3.380
Angolo tra N2' e N3' misurato alla prima biforcazione	49.990	3.930
Angolo tra N3 e N4 alla prima biforcazione di N3	55.490	5.090
Angolo tra N3' e N4'	53.160	5.010
Angolo tra N1 e N2 misurato agli estremi delle nervature	43.180	6.250
Angolo tra N1 e N2' misurato agli estremi delle nervature	48.630	4.250
Angolo tra N2 e N3 misurato agli estremi delle nervature	55.660	3.520
Angolo tra N2' e N3' misurato agli estremi delle nervature	58.970	4.670
Angolo tra N3 e N4 misurato agli estremi delle nervature	43.880	3.400
Angolo tra N3' e N4' misurato agli estremi delle nervature	45.100	3.520
Angolo di apertura del seno peziolare misurato a SP e SP'	28.430	11.990
Angolo tra D e D' con centro in N1	110.860	10.260
Angolo tra S e S' con centro in N1	89.510	7.610
Angolo tra I e I' con centro in N1	55.890	3.270
Angolo tra N3 e la tangente tra il punto peziolare e l'estremità N5	66.660	4.780
Angolo tra N3' e la tangente tra il punto peziolare e l'estremità N5'	63.740	5.140

rapporti		
descrittore	valore	deviazione standard
Rapporto tra l'altezza e la base del dente all'estremità della nervatura N4'	0.760	0.100
Rapporto tra l'altezza e la base del dente all'estremità della nervatura N4	0.670	0.070
Rapporto tra l'altezza e la base del dente all'estremità della nervatura N2'	0.670	0.090
Rapporto tra l'altezza e la base del dente all'estremità della nervatura N2	0.660	0.130
Rapporto tra la somma degli angoli a' + b' e la somma della distanza tra il seno peziolare e il seno superiore sinistro OS' e il seno peziolare e il seno inferiore sinistro OI'	0.010	0.000
Rapporto tra la somma degli angoli a + b e la somma della distanza tra il seno peziolare e il seno superiore destro OS e il seno peziolare e il seno inferiore destro OI	0.010	0.000
Rapporto tra la lunghezza della nervatura N5' e la lunghezza della nervatura N1	0.190	0.020
Rapporto tra la lunghezza della nervatura N5 e la lunghezza della nervatura N1	0.200	0.040
Rapporto tra la lunghezza della nervatura N4' e la lunghezza della nervatura N1	0.440	0.050
Rapporto tra la lunghezza della nervatura N4 e la lunghezza della nervatura N1	0.420	0.040
Rapporto tra la lunghezza della nervatura N3' e la lunghezza della nervatura N1	0.680	0.060
Rapporto tra la lunghezza della nervatura N3 e la lunghezza della nervatura N1	0.660	0.030
Rapporto tra la lunghezza della nervatura N2' e la lunghezza della nervatura N1	0.920	0.070
Rapporto tra la lunghezza della nervatura N2 e la lunghezza della nervatura N1	0.890	0.040
Rapporto tra la distanza dal seno peziolare al seno inferiore sinistro OI' e la lunghezza della nervatura N3'	0.850	0.020
Rapporto tra la distanza dal seno peziolare al seno inferiore destro OI e la lunghezza della nervatura N3	0.870	0.020
Rapporto tra Lunghezza e larghezza della foglia	1.080	0.040
Rapporto tra la lunghezza del picciolo OP e la lunghezza della nervatura N1	0.650	0.090
Rapporto tra la distanza dal seno la lunghezza della nervatura N2	0.810	0.020
Rapporto tra la distanza dal seno peziolare la lunghezza della nervatura N2'	0.780	0.020

Fenologia & produzione

OIV	descrizione	valore	
301	Epoca di germogliamento	5 / 7	media / tardiva
303	Epoca d´inizio dell´invaiatura	5	medio
351	Vigoria del germoglio	5	media (70-80 g)
502	Grappolo: peso di un grappolo	3	basso (250-350 g)
503	Acino: peso di un acino	3	basso (2,5-3,5 g)
505	Tenore in zucchero del mosto	7	elevato (20,2-21,8)
506	Acidità totale del mosto	3	bassa (5,2-6,8)
508	pH del mosto	5	medio (3,2-3,3)

Vegeto-produttivo

sesto di impianto e forma di allevamento	valore	deviazione standard	numero di anni
Forma di allevamento	controspalliera		
Sistema di potatura			
Distanza tra le file (m)	2.400		
Distanza sulla fila (m)	0.900		

vigore	valore	deviazione standard	numero di anni
Numero germogli/tralci per pianta (numero/pianta)	10.260	1.420	4
Peso legno di potatura per pianta (kg)	0.610	0.030	2
Numero germogli/tralci per metro di filare (numero/m)	11.400	1.570	4
Peso medio tralcio (g)	63.880	1.580	2
Peso legno di potatura per metro di filare (kg)	0.680	0.030	2

fertilità	valore	deviazione standard	numero di anni
Numero infiorescenze per germoglio alla fioritura (numero/germoglio)	1.820	0.150	4
Fertilità basale (grappoli/gemma)	1.760	0.170	4

© VitisDb 2010-2016 - ISSN 2282-006x

quantità produzione	valore	deviazione standard	numero di anni
Produzione per ettaro (t/ha)	21.421	2.763	4
Diametro acino (media di 25 acini) - larghezza (mm)	16.750	0.470	2
Diametro acino (media di 25 acini) - lunghezza (mm)	18.930	0.660	2
Peso medio grappolo (g)	274.330	82.140	4
Peso di 100 acini (g)	372.000	76.000	4
Numero grappoli per pianta (numero/pianta)	17.800	5.420	4
Numero grappoli per metro lineare (numero/m)	19.780	6.020	4
Produzione per metro di filare (kg/m)	5.140	0.660	4
Produzione per pianta (kg/ceppo)	4.630	0.600	4

qualità produzione	valore	deviazione standard	numero di anni
Antociani totali bucce (g/kg)	0.560	0.120	2
Tenore in zucchero del mosto (°Brix)	21.120	0.590	3
Acidità titolabile del mosto (g/l)	6.420	0.290	3
pH (pH)	3.210	0.010	3

Polifenoli uve

acidi idrossicinnamiltartarici	buccia (mg/kg) (dev.st)	vinacciolo (mg/kg) (dev.st)	polpa (mg/kg) (dev.st)
ac. trans caffeil tartarico	24.03		
ac. cis p-cumariol tartarico	3.39		
ac. trans p-cumariol tartarico	14.27		
ac. trans feruril tartarico	1.16		

flavonoli	buccia (mg/kg) (dev.st)	vinacciolo (mg/kg) (dev.st)	polpa (mg/kg) (dev.st)
campferolo monoglucoside	1.17		
quercetina monoglucoside	6.81		
quercetina glucuronide	2.94		
miricetina monoglucoside	5.60		

antociani monoglucosidi	buccia (mg/kg) (dev.st)	vinacciolo (mg/kg) (dev.st)	polpa (mg/kg) (dev.st)
cianidina-3-monoglucoside	10.86		
delfinidina-3-monoglucoside	28.47		
malvidina-3-monoglucoside	328.61		
peonidina-3-monoglucoside	50.38		
petunidina-3-monoglucoside	43.15		

Note profilo polifenolico

acetati totali 17.87 mg/kg di uva, p-cumarati 83.53 mg/kg di uva. La malvidina-3-glucoside è l'antociano più rappresentato (circa 59% del totale). Le percentuali dei 3-glucosidi della peonidina, della petunidina e della delfinidina variano da circa 8 a circa 5%, mentre di minore importanza quantitativa risulta la cianidina-3-glucoside. Le percentuali degli acilati raggiungono circa il 17%, con rapporto acetati/p-cumarati minore di 1. I flavonoli sono poco rappresentati. Fra di essi prevale la quercetina-3-glucoside (rapporto quercetina-3-glucoside/miricetina-3-glucoside maggiore di 1). Gli acidi idrossicinnamici sono rappresentati in modo modesto. Il rapporto derivati dell'acido caffeico/derivati dell'acido p-cumarico (CTA/p-CuTA) è maggiore di 1.

Aromi uve

norisoprenoidi	liberi (mg/kg) (dev.st)	idrolisi enzimatica (mg/kg) (dev.st)	idrolisi acida (mg/kg) (dev.st)
3,9-diidrossimegastigma-5-ene		9.6100	
3-idrossi-b-damascone		6.1400	
vomifoliolo		45.9500	
3-oxo-a-ionolo		34.4900	

monoterpeni	liberi (mg/kg) (dev.st)	idrolisi enzimatica (mg/kg) (dev.st)	idrolisi acida (mg/kg) (dev.st)
trans-8-idrossi-linalolo		11.2650	
cis-piranlinalolossido (ossido D)		1.0160	
cis-8-idrossi-linalolo		9.2640	
nerolo		14.6680	
cis-furanlinalolossido (ossido B)		2.3130	
trans-piranlinalolossido (ossido C)		2.8340	
p-menten-1-ene-7,8-diolo		120.1940	
geraniolo		36.8180	
trans-furanlinalolossido (ossido A)		2.2080	
a-terpineolo		74.6810	
2,6-dimetil-3,7-octadien-2,6-diolo (diolo 1)		8.3300	
acido geranico		50.2200	
nerale		1.1400	
linalolo		3.3070	

derivati benzene	liberi (mg/kg) (dev.st)	idrolisi enzimatica (mg/kg) (dev.st)	idrolisi acida (mg/kg) (dev.st)
2-feniletanolo		60.7700	
acetovanillone		8.1400	
eugenolo		5.5000	
alcool diidroconiferillico		39.6600	
alcool omovallico		6.2000	

alcoli alifatici	liberi (mg/kg) (dev.st)	idrolisi enzimatica (mg/kg) (dev.st)	idrolisi acida (mg/kg) (dev.st)
1-ottanolo		5.1770	

Note aromi

Uva a prevalenza di alfa-terpineolo fra gli alcoli terpenici monoidrossilati e di p-ment-1-ene-7,8-diolo fra i diidrossilati; segue l'acido trans-geranico, in ordine di importanza quantitativa. Il rapporto fra gli isomeri trans e cis degli ossidi furanici del linalolo è circa 1, fra gli isomeri trans e cis degli ossidi piranici del linalolo e fra gli isomeri trans e cis dell'8-idrossi linalolo è maggiore di 1 e fra linalolo e geraniolo minore di 1. Riguardo alla sintesi dei composti terpenici, prevalgono le vie che portano all'ossidazione sintesi di (acido geranico) e alla ciclizzazione (sintesi di -terpineolo e p-ment-1-ene-7,8-diolo). Difficilmente, a causa degli scarsi contenuti in precursori del linalolo e del geraniolo, da queste uve si potranno ottenere vini dotati di aromi fiorali. Modesti sono anche i tenori in precursori dei norisoprenoidi e dei benzenoidi da cui, tuttavia, potrebbero aver origine composti dalla bassa soglia olfattiva durante la fermentazione e la conservazione.

Altri descr.

nessun "altro" descrittore disponibile per Nocera

Accessioni della medesima varietà (1)

- Nocera - Regione Siciliana **-** Assessorato delle Risorse Agricole e Alimentari - Dip. Interventi Infrastrutturali per l'Agricoltura - Centro per l'Innovazione della Filiera Vitivinicola UOS Marsala